Masse e Oscillazioni dei Neutrini Lezione II

Corso di Fisica Nucleare e Subnucleare III

Lucio Ludovici 9 dicembre 2009

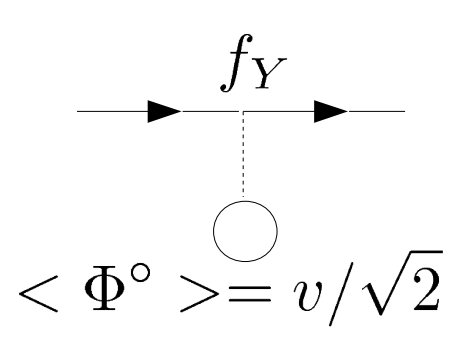
Oggi...

- Massa di Majorana
- La massa per un solo sapore di neutrino
- Estensione a tre sapori di neutrino
- La matrice di mescolamento

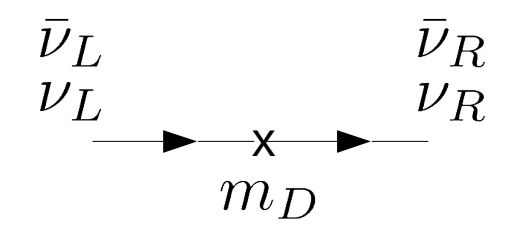
La massa di un neutrino di Dirac

$$m_D \bar{\psi} \psi = m_D (\bar{\psi}_R \psi_L + h.c.)$$





Higgs field



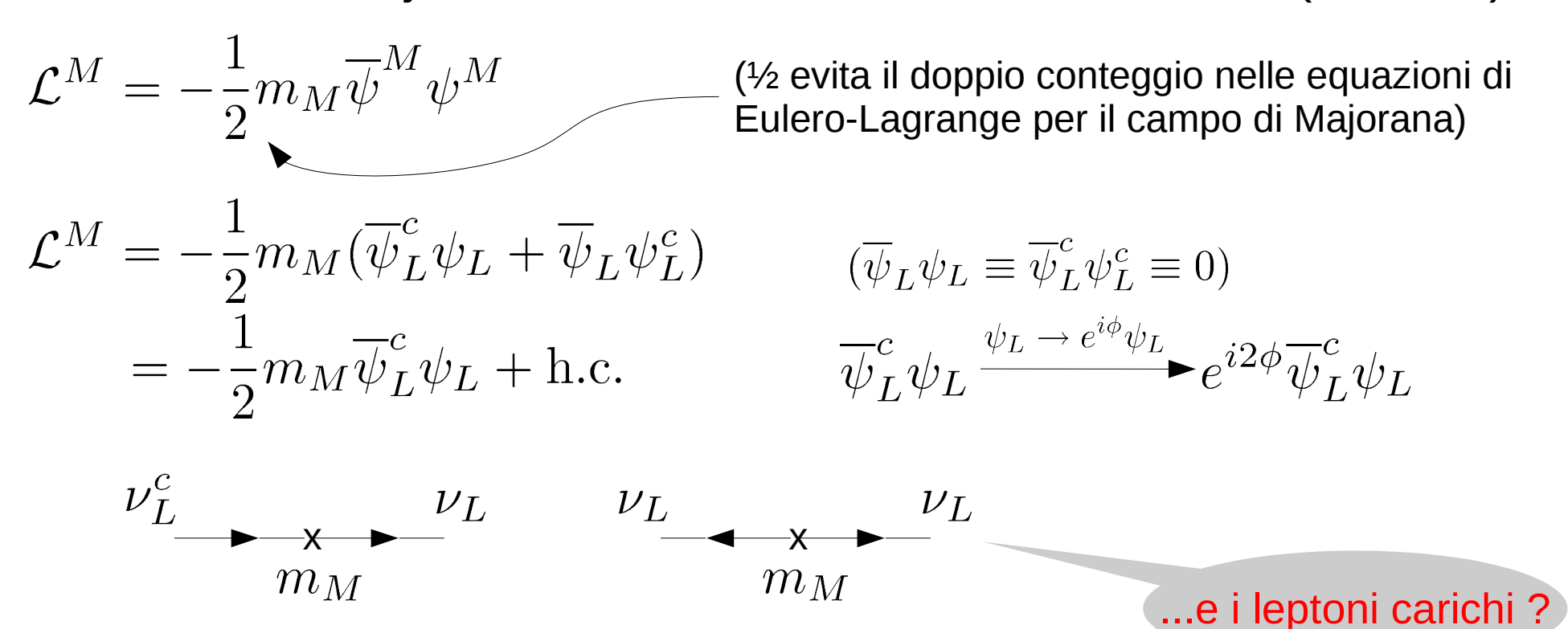
Connette le diverse elicità di stati distinti: neutrino LH(attivo) con neutrino RH(sterile) e antineutrino RH(attivo) con antineutrino LH(sterile)

Flip di elicità

Massa di un neutrino di Majorana

$$\psi^M = \psi_L + \psi_L^c$$

Per un neutrino di Majorana ci sono solo 2 termini di massa (bilineari)



Connette le diverse elicità di uno stesso stato: neutrino(≡antineutrino) LH con lo stesso neutrino RH

Flip di elicità

Massa di Dirac-Majorana

In presenza di un solo neutrino LH $\nu_L, \overline{\nu}_L$ l'unico termine di massa possibile è quello di Majorana

$$\mathcal{L}_L^M = -\frac{1}{2} m_L \overline{\nu}_L^c \nu_L + \text{h.c.}$$

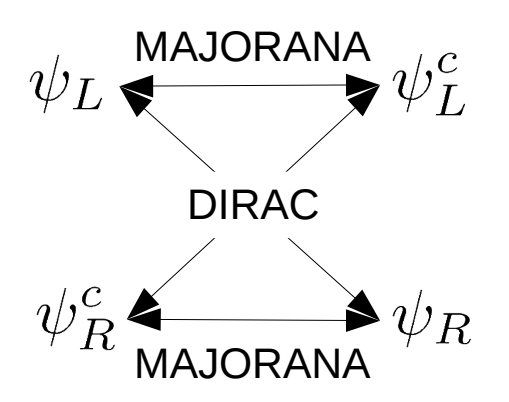
$$- \nu \equiv \nu_L + \nu_L^c \equiv \nu^c$$
 neutrino di Majorana, 2 componenti ν_+, ν_-

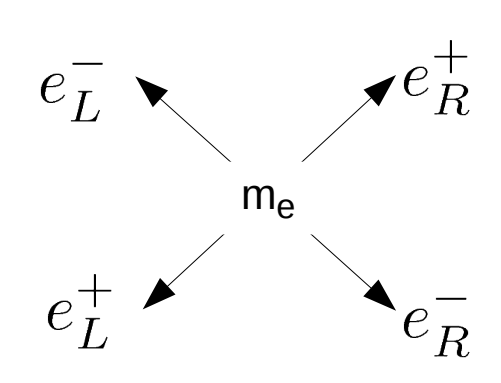
In presenza di neutrini RH il termine di massa più generale diventa

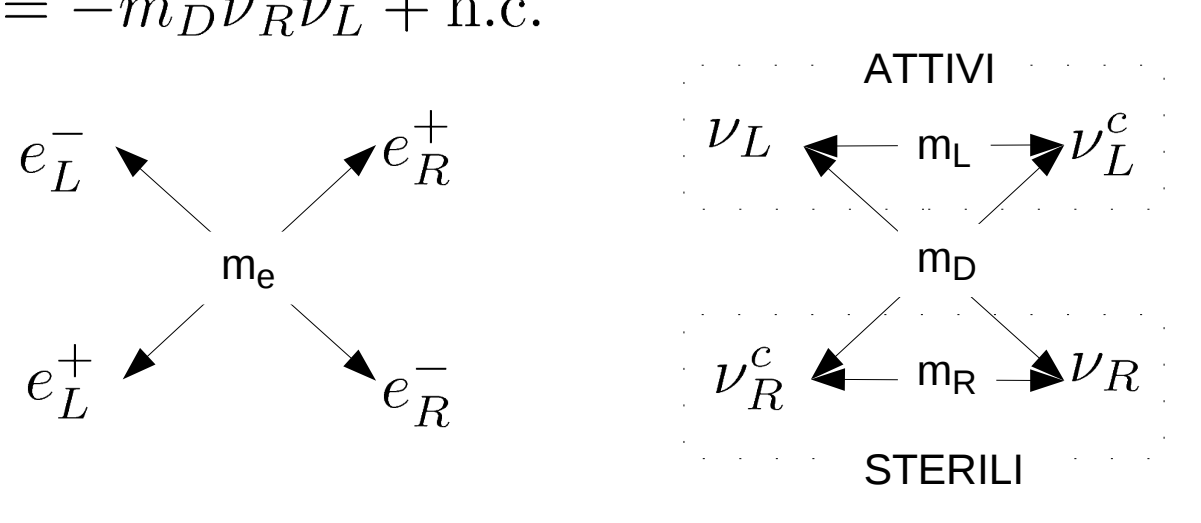
$$\mathcal{L}^{D+M} = \mathcal{L}^D + \mathcal{L}_L^M + \mathcal{L}_R^M$$

$$\mathcal{L}_R^M = -\frac{1}{2} m_R \overline{\nu}_R^C \nu_R + \text{h.c.}$$

$$\mathcal{L}^D = -m_D \overline{\nu}_R \nu_L + \text{h.c.}$$







Matrice di massa per un neutrino

I termini di massa di Dirac-Majorana

$$\mathcal{L}^{D+M} = -m_D \overline{\nu}_R \nu_L - \frac{1}{2} m_L \overline{\nu}_L^c \nu_L - \frac{1}{2} m_R \overline{\nu}_R^c \nu_R + \text{h.c.}$$

possono essere scritti in forma matriciale

$$\mathcal{L}^{D+M} = -\frac{1}{2} \begin{pmatrix} \overline{\nu}_L^c & \overline{\nu}_R \end{pmatrix} \begin{pmatrix} m_L & m_D \\ m_D & m_R \end{pmatrix} \begin{pmatrix} \nu_L \\ \nu_R^c \end{pmatrix} \quad + \text{h.c.}$$

$$\overline{N}_L^C \qquad \mathbf{M} \qquad N_L$$

$$\mathcal{L}^{D+M} = -\frac{1}{2} \overline{N}_L^c \mathbf{M} N_L + \text{h.c.}$$

$$\overline{N}_L^c \qquad \text{componenti LH}$$

$$\overline{N}_L^c \qquad \text{componenti RH}$$

I campi ν_L^c, ν_R non sono associati a particelle di massa definita

Hanno massa definita gli autostati della matrice di massa $\, {f M} \,$

Vediamo come si diagonalizza la matrice di massa

Il meccanismo del See-Saw



Diagonalizzazione della matrice di massa

La matrice di massa \mathbf{M} è diagonalizzata da $N_L = \mathbf{U}n_L$

 \mathbf{U}_{\rightarrow} matrice unitaria (matrice di mixing), con $\mathbf{U}^{\dagger}\mathbf{U} = \mathbf{1}$ $n_L = \mathbf{U}^{\dagger}N_L$

$$n_{L
ightarrow}$$
 autostati di massa LH, con $n_{L}=egin{pmatrix}
u_{1L} \\
u_{2L} \end{pmatrix}$

$$\mathbf{U}^\mathsf{T}\mathbf{M}\mathbf{U} = \begin{pmatrix} m_1 & 0 \\ 0 & m_2 \end{pmatrix}$$
 , m_i reali >0

Per semplicità consideriamo il caso m_D reale $\rightarrow \mathbf{M}$ reale (m_L, m_R sempre reali con un cambiamento di fase dei campi)

Per M reale si può porre: $U = O\Omega$ rotazione matrice diagonale di fasi (necessaria per avere m_i reali>0

$$\mathbf{O}^{\mathsf{T}}\mathbf{O} = \mathbf{1}$$
 $\mathbf{O} = \begin{pmatrix} \cos \theta & \sin \theta \\ -\sin \theta & \cos \theta \end{pmatrix}$ $\mathbf{\Omega} = \begin{pmatrix} e^{i\omega_1} & 0 \\ 0 & e^{i\omega_2} \end{pmatrix}$

$$\mathbf{O}^\mathsf{T} \mathbf{M} \mathbf{O} = \begin{pmatrix} \mu_1 & 0 \\ 0 & \mu_2 \end{pmatrix}$$

9 dicembre 2009 Lucio Ludovici 8

Diagonalizzazione della matrice di massa

Risolvendo l'equazione secolare:

$$\tan 2\theta = \frac{2m_D}{m_R - m_L} \qquad (m_L + m_R)^2 - 4(m_L m_R - m_D^2)$$

$$\mu_2 = \frac{1}{2} \left[m_L + m_R \pm \sqrt{(m_L - m_R)^2 + 4m_D^2} \right]$$

$$\mathbf{U}^\mathsf{T} \mathbf{M} \mathbf{U} = \mathbf{\Omega}^\mathsf{T} \mathbf{O}^\mathsf{T} \mathbf{M} \mathbf{\Omega} \mathbf{O} = \begin{pmatrix} e^{2i\omega_1} \mu_1 & 0\\ 0 & e^{2i\omega_2} \mu_2 \end{pmatrix} \equiv \begin{pmatrix} m_1 & 0\\ 0 & m_2 \end{pmatrix}$$

A una scelta opportuna delle fasi Ω corrispondono masse sempre >0

$$\begin{cases}
m_1 = \frac{1}{2} \left| m_L + m_R - \sqrt{(m_L - m_R)^2 + 4m_D^2} \right| &, \omega_1 = \begin{cases} \pi/2 & m_D^2 > m_L m_R \\ 0 & m_D^2 < m_L m_R \end{cases} \\
m_2 = \frac{1}{2} \left[m_L + m_R + \sqrt{(m_L - m_R)^2 + 4m_D^2} \right] &, \omega_2 = 0
\end{cases}$$

$$\mathbf{U} = \mathbf{O}\mathbf{\Omega} = \begin{pmatrix} \cos\theta & \sin\theta \\ -\sin\theta & \cos\theta \end{pmatrix} \begin{pmatrix} e^{i\omega} & 0 \\ 0 & 1 \end{pmatrix} = \begin{pmatrix} e^{i\omega}\cos\theta & \sin\theta \\ -e^{i\omega}\sin\theta & \cos\theta \end{pmatrix}$$

9 dicembre 2009 Lucio Ludovici 9

Dirac+Majorana → Majorana

Nella base diagonale:
$$n_L = \begin{pmatrix} \nu_{1L} \\ \nu_{2L} \end{pmatrix}$$

$$\mathcal{L}^{D+M} = -\frac{1}{2} \, \overline{n}_L^c \, \operatorname{diag}(m_1, m_2) \, n_L + \text{h.c.} = -\frac{1}{2} \sum_{k=1,2} m_k \overline{\nu}_{kL}^c \nu_{kL} + \text{h.c.}$$

La diagonalizzazione della matrice di massa più generale, ottenuta scrivendo tutti i termini possibili (Dirac e Majorana), è la somma di termini di massa per i neutrini di Majorana:

$$\nu_k = \nu_{kL} + \nu_{kL}^c \quad , k = 1, 2$$

$$\nu_k = \nu_k^c$$

Casistica

I. Dirac:
$$m_L = m_R \equiv 0$$

$$m_2 = m_1 = m_D$$

2 neutrini di Majorana degeneri di CP opposta ≡ 1 neutrino di Dirac

II. Pseudo- Dirac:
$$m_D \gg m_L, m_R$$

$$m_{21} = m_D \pm \frac{m_L + m_R}{2}$$

2 neutrini di Majorana quasi-degeneri $\Delta m^2 = m_2^2 - m_1^2 = 2m_D(m_L + m_R)$

$$\Delta m^2 = m_2^2 - m_1^2 = 2m_D(m_L + m_R)$$

III. Puro Majorana: $m_D = 0$

2 neutrini di Majorana

IV. See-Saw (Altalena): $m_L = 0$ $m_D \ll m_R$

2 neutrini di Majorana, uno di massa grande e uno di massa piccola

Il meccanismo del See-Saw (altalena)

Matrice di massa
$$\begin{pmatrix} 0 & m_D \\ m_D & m_R \end{pmatrix}$$
 con $m_D \ll m_R$

Dalla soluzione generale dell'equazione secolare:

$$\theta \simeq \frac{m_D}{m_R} = \epsilon \ll 1$$
 $m_1 \simeq \frac{m_D^2}{m_R} = (\frac{m_D}{m_R}) m_D \ll m_D$ $m_2 \simeq m_R$

$$\mathbf{U} \simeq \begin{pmatrix} i & \epsilon \\ -i\epsilon & 1 \end{pmatrix} \qquad \begin{cases} \nu_{1L} \simeq & -i\nu_L & + & i\epsilon\nu_R^c \\ \nu_{2L} \simeq & \epsilon\nu_L & + & \nu_R^c \end{cases} \qquad \begin{array}{l} m_1 \simeq \epsilon m_D \ll m_D \\ m_2 \simeq m_R \gg m_D \end{cases}$$

Conseguenze del See-Saw

- 1. piccole masse per i neutrini (<<masse fermioni carichi)
- 2. i neutrini sono particelle di Majorana
- 3. i neutrini "sterili" hanno masse molto grandi e sono praticamente disaccoppiati da quelli "attivi"

Plausibilità del See-Saw

 $m_L=0$ motivato dal fatto che $\overline{\nu}_L^c \nu_L$ è un tripletto di isospin debole (prodotto di due doppietti di SU(2)). Termini di massa diretti sono vietati dalla simmetria di gauge e nel MS minimale non ci sono tripletti di Higgs per crearli attraverso lo SSB

 $m_R\gg m_D$ I termini di Dirac sono creati dallo SSB e quindi è ragionevole assumere che m_D sia dello stesso ordine degli altri fermioni o della scala di rottura della simmetria del MS. Al contrario $\overline{\nu}_R^c \nu_R$ è un singoletto di isospin e pertanto m_R può assumere qualsiasi valore. Se esiste un gruppo più ampio $G \supset SU(3)xSU(2)xU(1)$ di cui il MS è il limite di bassa energia, è ragionevole che m_R abbia un valore corrispondente alla scala di rottura del gruppo più ampio

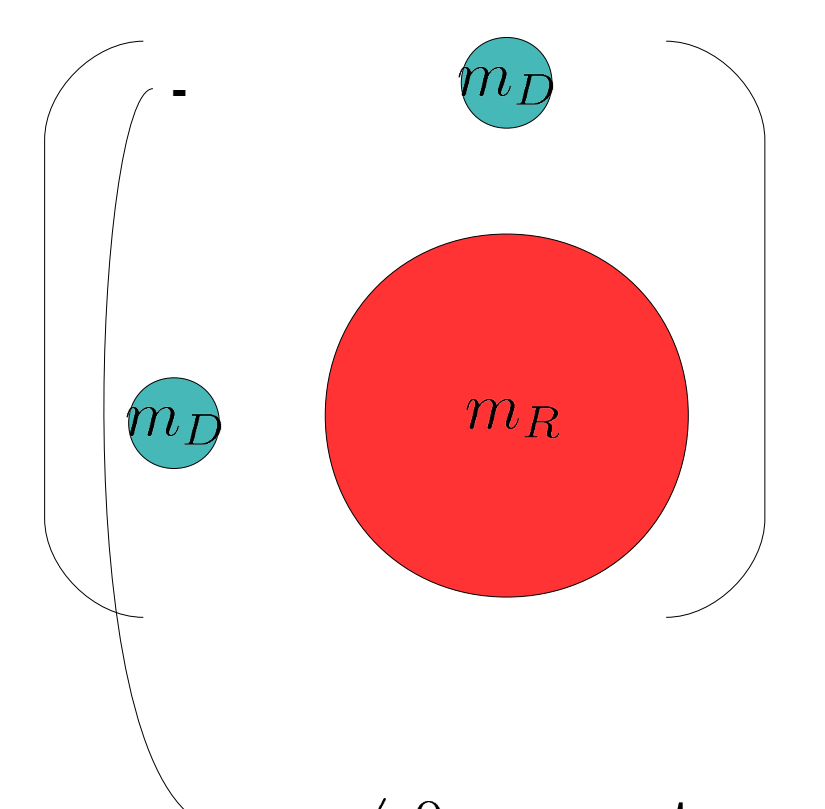
Che scala dovrebbe avere m_R ?

$$m_R = \frac{m_D^2}{m_\nu} \sim \frac{(\langle \Phi^0 \rangle)^2}{m_\nu} \sim \frac{(246/\sqrt{2})^2}{0.05 \cdot 10^{-9}} \sim 10^{15} {\rm GeV}$$
 — GUT scale !!

9 dicembre 2009 Lucio Ludovici 13

II See-Saw

$$\mathbf{M} = \begin{pmatrix} 0 & m_D \\ m_D & m_R >> m_D \end{pmatrix}$$

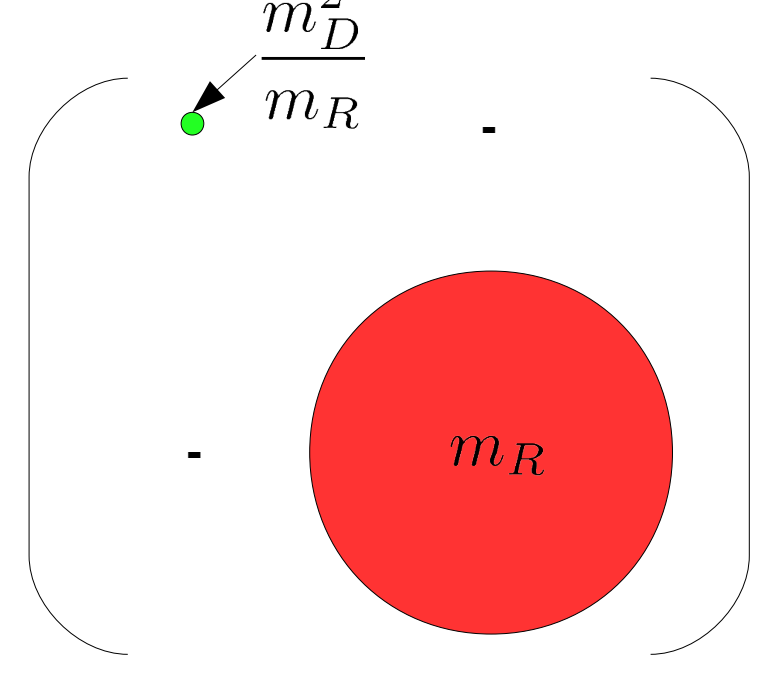


$$ightharpoonup m_L
eq 0$$
: operatore efficace dim-5 $\mathcal{L}^5 \propto \frac{1}{\Lambda} (L^\mathsf{T} L) (\Phi^\mathsf{T} \Phi)$

$$\Lambda \sim m_R ~~m_1
ightarrow \left| m_L - rac{m_D^2}{m_R}
ight| ~~$$
rimane del tipo See-Saw

$$\mathbf{U}^{\mathsf{T}}\mathbf{M}\mathbf{U} = \begin{pmatrix} m_1 & 0 \\ 0 & m_2 \end{pmatrix}$$

$$\mathbf{m}_{R}^{2}$$



$$\mathcal{L}^5 \propto \frac{1}{\Lambda} (L^{\mathsf{T}} L) (\Phi^{\mathsf{T}} \Phi)$$

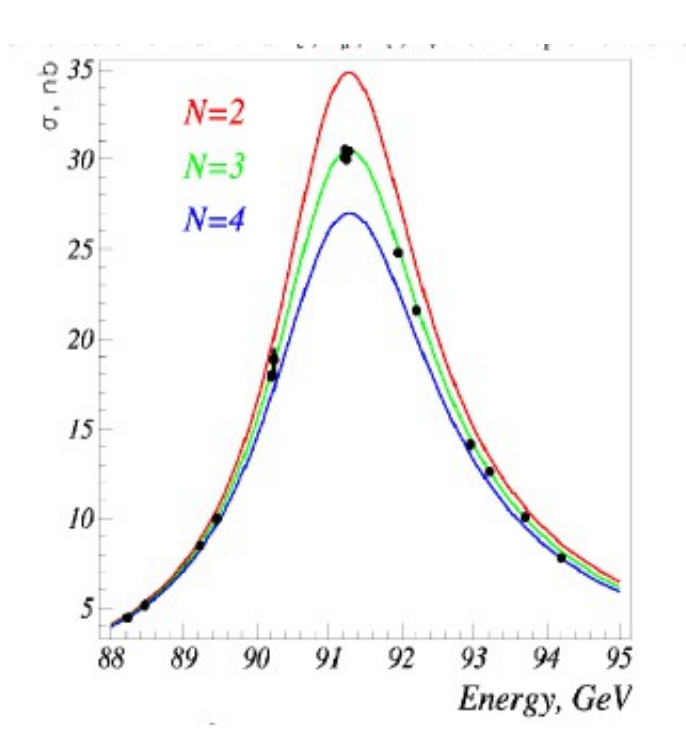
3 famiglie di neutrini

Osservazione sperimentale di ν_e, ν_μ, ν_τ Accoppiamenti con W,Z previsti dal MS

LEP:
$$Z \rightarrow \Sigma_{\alpha} \overline{\nu}_{\alpha} \nu_{\alpha}$$

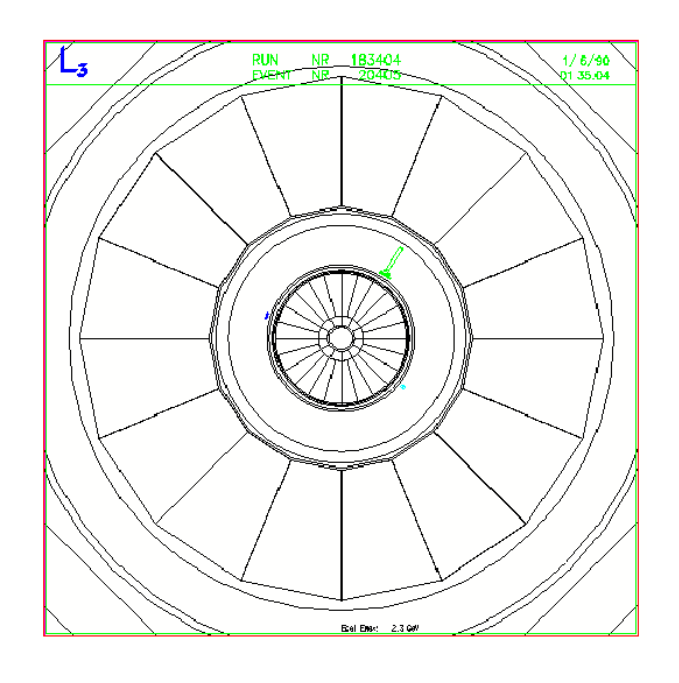
$$\frac{\Gamma(Z \to invisibile)}{\Gamma(Z \to \overline{\nu}\nu)_{SM}}$$

$$N_{\nu} = 2.9840 \pm 0.0082$$



$$e^+e^- \to Z\gamma \to \overline{\nu}_{\alpha}\nu_{\alpha}\gamma$$

$$N_{\nu} = 2.93 \pm 0.05$$



Massa per 3 neutrini "attivi"

Le interazioni dei neutrini nel MS sono mediate da:

$$\mathcal{L}_{CC} = \frac{-g}{2\sqrt{2}} J_{\mu}^{CC} W^{\mu} + \text{h.c.} \qquad J_{\mu}^{CC} = 2 \sum_{\alpha = e, \mu, \tau} \overline{\nu}_{\alpha L} \gamma_{\mu} l_{\alpha L}$$

$$\mathcal{L}_{NC} = \frac{-g}{2\cos\theta_W} J_{\mu}^{NC} Z^{\mu} + \text{h.c.} \qquad J_{\mu}^{NC} = 2 \sum_{\alpha = e, \mu, \tau} \overline{\nu}_{\alpha L} \gamma_{\mu} \nu_{\alpha L}$$

Oltre a $\nu_{\alpha L} = \nu_{eL}, \nu_{\mu_L}, \nu_{\tau L}$ neutrini "attivi" (LH) introduciamo anche 3 (in generale \geq 3) campi "sterili" (RH) $\nu_{s_i R}$

Il termine di massa più generale è $\mathcal{L}^{D+M} = \mathcal{L}^D + \mathcal{L}_L^M + \mathcal{L}_R^M$

$$\mathcal{L}^{D} = -\sum_{s,\alpha} \overline{\nu}_{sR} \mathbf{M}_{s,\alpha}^{D} \nu_{\beta_{L}} + \text{h.c.}$$

$$\mathcal{L}_{L}^{M} = -\frac{1}{2} \sum_{\alpha,\beta} \overline{\nu}_{\alpha_{L}}^{c} \mathbf{M}_{\alpha,\beta}^{L} \nu_{\beta_{L}} + \text{h.c.}$$

$$\mathcal{L}_{R}^{M} = -\frac{1}{2} \sum_{s,s'} \overline{\nu}_{sR}^{c} \mathbf{M}_{s,s'}^{R} \nu_{s'R} + \text{h.c.}$$

Matrice di massa (caso generale)

$$\mathcal{L}^{D+M} = -\frac{1}{2} \, \overline{\mathbf{N}}_L^c \, \mathbb{M} \, \mathbf{N}_L + \text{h.c.}$$

definendo il vettore 6x1
$$N_L = \begin{pmatrix}
u_\mathbb{L} \\
\nu_\mathbb{R}^c \end{pmatrix}$$
 con $\nu_\mathbb{L} = \begin{pmatrix}
u_{eL} \\
\nu_{\mu_L} \\
\nu_{\tau_L} \end{pmatrix}$ $\nu_\mathbb{R}^c = \begin{pmatrix}
u_{s_1R}^c \\
\nu_{s_2R}^c \\
\nu_{s_3R}^c \end{pmatrix}$

$$\mathbb{M} = \begin{pmatrix} \mathbf{M}^L & (\mathbf{M}^D)^{\mathsf{T}} \\ \mathbf{M}^D & \mathbf{M}^R \end{pmatrix}$$
 matrice 6x6

è diagonalizzata da
$$N_L=\mathbb{U}n_L$$
, $\mathbb{U}^\mathsf{T}\mathbb{M}\mathbb{U}$ con $\mathbb{U}^\dagger\mathbb{U}=1$ $n_L=\begin{pmatrix} \nu_{1L} \\ \dots \\ \nu_{6L} \end{pmatrix}$

$$\mathbb{U}^{\mathsf{T}} \mathbb{M} \mathbb{U} = \mathrm{diag}(m_1,...,m_6) \quad m_k \in \Re > 0$$
 Rev.Mod.Phys.59(1987)671

$$\mathcal{L}^{D+M} = -rac{1}{2} \sum_{k=1.6} m_k \overline{\nu}_k {}_L^c \nu_{kL} + \mathrm{h.c.}$$
 autostati di massa \rightarrow neutrini di Majorana

$$\left\{ \begin{array}{ll} \nu_{\alpha L} = \sum_{k=1,6} \mathbb{U}_{\alpha k} \nu_{kL} & \alpha = e, \mu, \tau \\ \nu_{sR}^{\ c} = \sum_{k=1,6} \mathbb{U}_{sk} \nu_{kL} & s = s_1, s_2, s_3 \end{array} \right. \quad \text{oscillazioni di sapore} \quad \nu_{\alpha} \leftrightarrow \nu_{\beta}$$

9 dicembre 2009 Lucio Ludovici 17

See-Saw per 3 famiglie

Consideriamo il caso del See-Saw:

$$\mathbf{M}^L = 0$$

$$\mathbf{M}^L = 0 \qquad \lambda_i \{\mathbf{M}^R\} \gg \lambda_j \{\mathbf{M}^D\}$$

La matrice di massa è diagonalizzata da $\mathbb{U}^T \mathbb{M} \mathbb{U}$ con $\mathbb{U} = \mathbb{W} \mathbb{V}$

Prima \mathbb{W} diagonalizza \mathbb{M} a blocchi, poi \mathbb{V} diagonalizza i blocchi ottenuti

$$\mathbb{W}^{\mathsf{T}} \mathbb{M} \mathbb{W} \simeq \begin{pmatrix} \mathbf{M}_{\text{light}} & 0 \\ 0 & \mathbf{M}_{\text{heavy}} \end{pmatrix} \qquad \frac{\mathbf{M}_{\text{light}} = -(\mathbf{M}^D)^{\mathsf{T}} (\mathbf{M}^R)^{-1} \mathbf{M}^D}{\mathbf{M}_{\text{heavy}} = \mathbf{M}^R}$$

$$W = 1 - \frac{1}{2} \begin{pmatrix} \mathbf{M}^{D\dagger} (\mathbf{M}^{R} (\mathbf{M}^{R\dagger})^{-1} \mathbf{M}^{D} & 2\mathbf{M}^{D\dagger} (\mathbf{M}^{R\dagger})^{-1} \\ -2(\mathbf{M}^{R\dagger})^{-1} \mathbf{M}^{D} & (\mathbf{M}^{R})^{-1} \mathbf{M}^{D} \mathbf{M}^{D\dagger} \mathbf{M}^{R\dagger}^{-1} \end{pmatrix}$$

I 3 neutrini leggeri sono disaccoppiati da quelli pesanti Le oscillazioni attivi ↔ sterili sono trascurabili

Origine della matrice di mixing

Abbiamo visto come la matrice di massa See-Saw è diagonalizzata a blocchi da:

$$\mathbb{U}^\mathsf{T} \mathbb{M} \mathbb{U} \qquad \mathbb{U} = \mathbb{W} \mathbb{V} \qquad \mathbb{W}^\mathsf{T} \mathbb{M} \mathbb{W} \simeq \begin{pmatrix} \mathbf{M}_{light} & \mathbf{0} \\ \mathbf{0} & \mathbf{M}_{heavy} \end{pmatrix}$$

$$\mathbb{W}, \mathbb{V} \text{ unitarie}$$

I blocchi sono ulteriormente diagonalizzati da

$$\mathbb{V} = \begin{pmatrix} \mathbf{U} & 0 \\ 0 & \mathbf{V} \end{pmatrix} \qquad \mathbf{U}^{\mathsf{T}} \mathbf{M}_{\text{light}} \mathbf{U} = \text{diag}(m_1, m_2, m_3) \\ \mathbf{V}^{\mathsf{T}} \mathbf{M}_{\text{heavy}} \mathbf{V} = \text{diag}(M_{R1}, M_{R2}, M_{R3})$$

La fenomenologia del mixing dei neutrini attivi è descritta dalla matrice ${f U}$

$$\nu_{\alpha L} = \sum_{k=1,3} \mathbf{U}_{\alpha k} \nu_{kL} \qquad \alpha = e, \mu, \tau$$

Conteggio dei parametri della matrice di mixing

$$J_{\mu}^{NC}=2\sum_{\alpha=e,\mu,\tau}\overline{\nu}_{\alpha L}\gamma_{\mu}\nu_{\alpha L}=2\sum_{k=1,3}\overline{\nu}_{kL}\gamma_{\mu}\nu_{kL}\qquad \text{NC è diagonale}$$

$$J_{\mu}^{CC}=2\sum_{\alpha=e,\mu,\tau}\overline{l}_{\alpha L}\gamma_{\mu}\nu_{\alpha L}=2\sum_{\alpha=e,\mu,\tau}\sum_{k=1,3}\overline{l}_{\alpha L}\gamma_{\mu}\mathbf{U}_{\alpha k}\nu_{kL}$$

matrice 3x3

$$2N^2 = N^2$$
 angoli + N^2 fasi

9 angoli + 9 fasi

$$\mathbf{U}^{\dagger}\mathbf{U} = \mathbf{1}$$

$$N^2 = N(N-1)/2$$
 angoli + $N(N+1)/2$ fasi 3 angoli + 6 fasi

$$l_{\alpha} \to e^{i\phi_{\alpha}} l_{\alpha}$$

3 angoli + 3 fasi

$$u_{\alpha} \to e^{i\phi_{\alpha}} \nu_{\alpha} \quad \text{(Dirac)}$$

- (N-1) fasi

3 angoli + 1 fase

N(N-1)/2

Angoli

Fasi di Dirac (N-1)(N-2)/2

Fasi di Majorana (N-1)

N=3

3

2

9 dicembre 2009

Lucio Ludovici

Parametrizzazione della matrice di mixing

$$\mathbf{U} = \mathbf{R}_{23} \mathbf{R}_{13}^C \mathbf{R}_{12} \mathbf{D}(\phi_2, \phi_3)$$

$$\begin{pmatrix} 1 & 0 & 0 \\ 0 & c_{23} & s_{23} \\ 0 & -s_{23} & c_{23} \end{pmatrix} \begin{pmatrix} c_{13} & 0 & e^{-i\delta}s_{13} \\ 0 & 1 & 0 \\ -e^{i\delta}s_{13} & 0 & c_{13} \end{pmatrix} \begin{pmatrix} c_{12} & s_{12} & 0 \\ -s_{12} & c_{12} & 0 \\ 0 & 0 & 1 \end{pmatrix} \begin{pmatrix} 1 & 0 & 0 \\ 0 & e^{i\phi_2} & 0 \\ 0 & 0 & e^{i\phi_3} \end{pmatrix}$$

atmosferici "terra incognita" solari

